

مطالعه ابتدا به ساکن بلور CeIn₃ در فشارهای بالا

منصوره ایلخانی^{۱,۲}، محمد رضا ابوالحسنی^{۱,۳} و سعید جلالی اسدآبادی^{۴,۵}

۱. مرکز تحقیقات فیزیک پلاسماء، دانشگاه آزاد اسلامی، پونک، تهران
۲. واحد شهریار- شهرقدس، دانشگاه آزاد اسلامی، شهرقدس
۳. گروه فیزیک، دانشکده علوم، دانشگاه تربیت مدرس، تهران
۴. گروه فیزیک، دانشکده علوم، دانشگاه اصفهان، خیابان هزار جریب، اصفهان
۵. مرکز تحقیقات علوم و تکنولوژی نانو، دانشگاه اصفهان، خیابان هزار جریب، اصفهان

(دریافت مقاله: ۱۰/۹/۸۶؛ دریافت نسخه نهایی: ۱۳/۵/۸۷)

چکیده

گرادیانهای میدان الکتریکی (EFG's) در مکان In و ممان مغناطیسی اسپینی در مکان Ce در ترکیب CeIn₃ محاسبه شده‌اند. محاسبات با افزایش تدریجی فشار از ۵-۲۲ GPa و با استفاده از نظریه تابعی چگالی و روش امواج تخت بهبود یافته به علاوه اریتال موضعی و به کارگیری تقریب U+WC-GGA+U و PBE-GGA+U انجام شده‌اند. نتایج گویای کاهش تقریباً خطی ممان مغناطیسی اسپینی سریم با افزایش فشار است. از نتایج به دست آمده مشاهده می‌شود که گرادیانهای میدان الکتریکی محاسبه شده در مکان In؛ به عکس، با افزایش فشار افزایش می‌یابند. گرادیانهای میدان الکتریکی در فشار صفر را با نتایج نظری دیگران و نتایج تجربی مقایسه کرده‌ایم. مقایسه انجام شده نشان می‌دهد که گرادیانهای میدان الکتریکی نسبت به نتایج دیگران با تجربه در فشار صفر سازگاری بیشتری دارد. نتایج نشان می‌دهند که ممان مغناطیسی اسپینی در یک نقطه بحرانی کوانتومی خاص فرو نشانده می‌شود.

واژه‌های کلیدی: DFT، WC-GGA، PBE-GGA، LSDA+U، چگالی حالتها، ممان مغناطیسی، گرادیان میدان الکتریکی

مغناطیسی ۴f سریم به وسیله هامیلتونی RKKY^[۴] [۱] جفت می‌شوند. این ممانها با نظم مغناطیسی (↑↓) در صفحات (111) خلاف یکدیگر جهت‌گیری می‌کنند. در این ماده ابررسانایی در یک بازه کوچک از دما (۰-۲ K) و فشار (۰-۷ GPa) نزدیک فشار بحرانی کوانتومی، P_C ، مشاهده شده است [۵]. ابررسانایی نزدیک نظم مغناطیسی آشکار می‌شود و نشان دهنده بستگی ابررسانایی به برهمکشن مغناطیسی است که نزدیک P_C بیشترین مقدار خود را دارد.

برهمکنشهای فوق ریز در تعیین حالت پایه بلوری نقش

۱. مقدمه

ترکیب CeIn₃ با ساختار بلوری AuCu₃ یک دستگاه کندوی متراکم با رفتار فرمیونی سنگین در دمای پایین را تشکیل می‌دهد. ثابت شبکه این بلور مکعبی $\text{Pm}\bar{3}m$ ۴/۶۸۹ Å و گروه فضایی آن $\text{m}\bar{3}m$ می‌باشد [۱]. اتمهای Ce در گوشه‌ها و اتمهای In در مراکز وجوده عبارتند از $\text{m}\bar{3}\text{m}$ و $\text{m}\bar{3}\text{m}$. این ترکیب در فشار متعارف یک پاد فرو مغناطیس با دمای نیل $T_N=1^{\circ}\text{K}$ است [۲]. ساختار کریستالی این بلور، AuCu₃، تا فشار 10 GPa پایدار باقی می‌ماند [۳]. ممان مغناطیسی سریم در این ترکیب $0.65 \mu_B$ است و توسط یک محیط بلوری از الکترونهای رسانش محافظت می‌شود [۱]. ممانهای

۱. Ruderman, Kittle, Kasuya, Yosida

که در آن جمله اول انرژی کل حاصل از تقریب LSDA است. جمله‌های دوم و سوم به ترتیب انرژیهای حاصل از برهم‌کنش کولنی الکترونهای اریتال همبسته بر طبق مدل هابارد و انرژی کولنی برهم‌کنش کولنی بر طبق مدل گاز همگن می‌باشدند. در استفاده از تقریب LSDA+U روش‌های متفاوتی وجود دارند که ما در مورد CeIn₃ به عنوان یک دستگاه با بستگی زیاد از روش SIC [۱۱] استفاده کردیم. در تقریب LSDA+U (SIC) سه پارامتر وجود دارند که انرژی دستگاه را می‌توان با آنها تنظیم کرد. این سه پارامتر عبارتند از پارامتر کولنی U، پارامتر تبادلی استارتر شده J و ماتریس چگالی n_{mm}^{σ} . پارامتر U هابارد برای سریم در این ترکیب قبلًا eV/۶/۲ [۱۲] و پارامتر تبادلی J نیز eV/۷ محسوبه شده است [۱۳]. ما در انجام محاسبات با کد WIEN2k مقدار J - U که در انرژی کل در روش U ظاهر می‌شود را $J = 5/5 \text{ eV}$ و $U - J = U_{\text{eff}}$ صفر گرفته‌ایم.

برای داخل کرات موفین-تین، کرات بدون همپوشی در اطراف جایگاههای اتمی، محاسبات اتمی و به صورت کاملاً نسبیتی و با روش دیراک-فوک و برای خارج از کرات، محاسبات به روش اسکالر نسبیتی و APW+lo انجام شده‌اند. شعاع کرات موفین-تین Ce و In Bohr ۲/۳ در نظر گرفتیم. چگالیهای الکترونی و پتانسیل داخل کرات موفین-تین، بر حسب توابع هماهنگی کروی با شعاع قطع $a_{\text{max}} = 10$ و در ناحیه بین جایگاهی، با استفاده از بسط فوریه محاسبه شده‌اند. پارامتر $R_{\text{MTK}_{\text{max}}}$ را $7/00$ در نظر گرفتیم، که در آن R_{MT} میانگین شعاع کرات موفین-تین و K_{max} ماکریزم اندازه بردار شبکه معکوس است. شعاع قطع برای بسط فوریه چگالی بار و پتانسیل $G_{\text{max}} = 14\sqrt{\text{Ry}}$ انتخاب شد.

ما در محاسبات الکترونهای ظرفیت Ce و In را به صورت: $(4p^6, 4d^{10}, 5s^2, 5p^2)$ و $(5s^2, 5p^4, 4f^1, 5d^1, 6s^2)$ در نظر گرفتیم. شبکه بندی با ۷۲ نقطه در منطقه کاهش ناپذیر بریلوئن انجام شد، که یک شبکه بندی $12 \times 12 \times 12$ را ایجاد می‌کند. در حالی که پس از اضافه نمودن اندرکنش اسپین-مدار شبکه با ۱۸۴ نقطه در منطقه کاهش ناپذیر بریلوئن در نظر گرفته شده است. از آنجا که با اضافه کردن برهم‌کنش اسپین-مدار

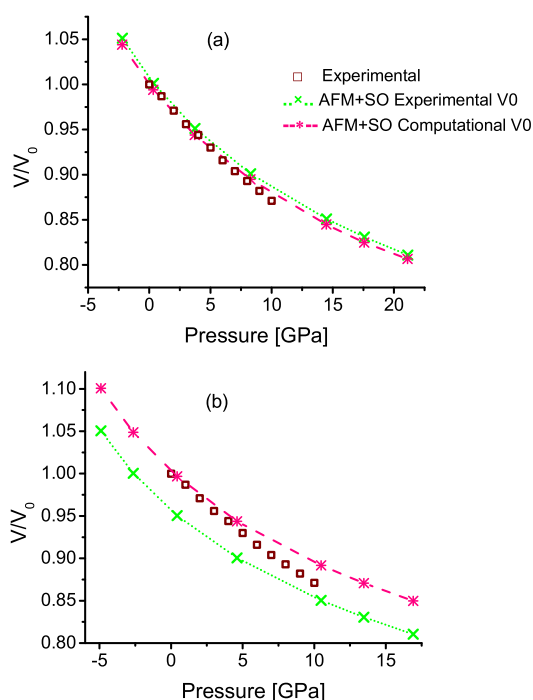
مهمی را ایفا می‌کند و اطلاعات با اهمیتی را در مورد توزیع بار الکتریکی و توزیع اسپین در مجاورت هسته به ما می‌دهند. مقادیر EFG نسبت به ناهمسانگردی توزیع بار الکترونهای غزه و همین‌طور به توزیع چگالی الکترونی کروی الکترونهای ظرفیت حساس هستند. بنابراین EFG کمیتی است که می‌تواند به خوبی میزان جایگزینی الکترونها را نشان دهد.

در این تحقیق، با استفاده از محاسبات پتانسیل کامل و به کارگیری امواج تخت بهبود یافته (خطی) به علاوه اریتال (GGA) موضعی، (L)APW+lo و تقریب شیب تعییم یافته (GGA) برای تابعی تبادلی-همبستگی به محاسبه ممان مغناطیسی الکترونهای ۴f اتم سریم و گرادیانهای میدان الکتریکی در جایگاههای Ce و In تحت فشار پرداخته ایم. محاسبات ما نشان می‌دهند که ممان اسپینی مغناطیسی اتمهای سریم با افزایش فشار فرونشانده می‌شوند. همچنین مشاهده می‌شود با افزایش فشار، چگالی حالت‌های فرمی کاهش می‌یابد و در نتیجه گرادیان میدان الکتریکی زیاد می‌شود.

۲. محاسبات

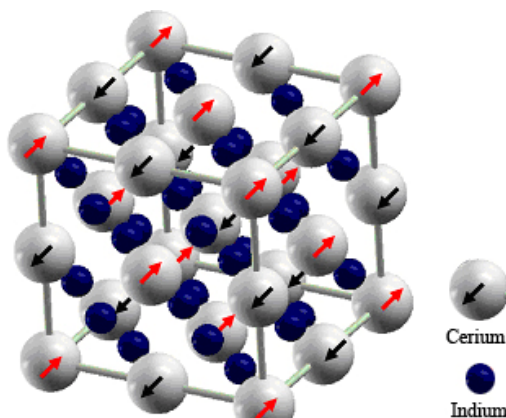
در این کار، کلیه محاسبات بر اساس نظریه تابعی چگالی (DFT) و با استفاده از کد محاسباتی WIEN2k [۶] و از روش امواج تخت بهبود یافته (خطی) به علاوه اریتالهای موضعی، (L)APW+lo و (V) از طریق یک حل خودسازگار، در یک فرایند تکرار شونده انجام شده‌اند. جمله انرژی تبادلی-همبستگی موجود در معادلات تک ذره کان-شم با به کارگیری تقریب گرادیان تعییم یافته PBE-GGA [۸] و تقریب WC-GGA [۹] که به تازگی توسط وو و کان ارائه شده است، محاسبه شده است. در تقریب GGA، گرادیان چگالی نقش وابستگی بخش تبادلی-همبستگی به چگالی نواحی مجاور را بازی می‌کند. از آن جا که GGA در توصیف دستگاههایی با الکترونهای همبسته قوی پاسخگو نیست از تقریب LSDA+U استفاده می‌شود. هدف اصلی این تقریب کنترل جایگزینی اریتالهای ترکیبات به طور قوی همبسته با استفاده از پارامتر U هابارد است [۱۰]. انرژی کل حاصل از تقریب LSDA+U را می‌توان به شکل زیر نوشت:

$$E^{\text{LSDA+U}} = E^{\text{LSDA}} + E^{\text{U}} - E^{\text{dc}}$$



شکل ۲. مقایسه مقادیر محاسبه شده V/V_0 بر حسب فشارهای به دست آمده از معادله حالت بیرش-مورناگان، نقطه چین نسبت به V_0 تجربی و خط چین نسبت به V_0 محاسبه شده برای کمترین انرژی رسم شده است. شکل (a) با تقریب PBE-GGA و شکل (b) با تقریب WC-GGA همراه با مقادیر تجربی گروه اومنی [۳] استند.

در نظر گرفتن اندرکنش اسپین-مدار و سمت‌گیری اسپین اتمهای سریم در جهت (111)، با به کار گیری دو تقریب WC-GGA و PBE-GGA محاسبه کردیم. سپس روی آنها برآذش معادله حالت بیرش-مورناگان انجام و فشار معادل هر حجم محاسبه شد. اومنی و همکاران [۳] نیز تغییرات V/V_0 را برای CeIn_3 با افزایش فشار، از فشار متعارف تا ۱۰ GPa، اندازه گیری کردند. در شکل ۲ نتایج محاسبات از فشار ۵ تا ۲۲ GPa، با نتایج حاصل از اندازه گیریهای اومنی و همکاران مقایسه شده است. در این شکل یکبار V/V_0 برای V_0 تجربی، حجم در فشار متعارف، و یک بار برای V_0 محاسباتی، حجمی که به ازای آن در برآذش معادله بیرش-مورناگان انرژی دستگاه کمینه است، در نظر گرفته شده است. لازم به ذکر است که نمودارهای فاز برای CeIn_3 پادفرومغناطیس بدون در نظر گرفتن جفت‌شدنگی اسپین-مدار نیز روی نمودارهایی که با در نظر



شکل ۱. نحوه آرایش نظم پادفرومغناطیس در ابر سلول CeIn_3 .

دستگاه تقارن وارون خود را از دست می‌دهد بنابراین برای حفظ دقت محاسبات قبل و بعد از در نظر گرفتن برهم‌کنش اسپین-مدار (که برای انجام مقایسه ضروری است) تعداد نقاط غیر معادل در منطقه اول بریلوین را به گونه‌ای افزایش داده‌ایم که چگالی تعداد نقاط K ثابت باقی بماند.

یک ابر سلول $2 \times 2 \times 2$ پاد فرومغناطیس در نظر گرفتیم، (شکل ۱). و انرژی کل را برای ۷ حجم متفاوت، با استفاده از تقریبهای PBE و WC محاسبه و برآذش انرژیها روی معادله حالت بیرش-مورناگان انجام داده‌ایم [۱۴]:

$$E(V) = E_0 + \left(\frac{B_0 V}{B'_0} \right) \cdot \left(\frac{(V_0/V)^{B'_0}}{(B'_0 - 1)} + 1 \right) - \frac{B_0 V_0}{B'_0 - 1},$$

که در آن اندیس صفر نشان دهنده حالت استاندارد $= 0$ ، $P = B'_0 / B_0$ مدول حجمی و $B'_0 = \partial B / \partial P$ می‌باشد. همه محاسبات در دمای صفر کلوینی انجام و فشار به صورت تحلیلی از رابطه زیر تعیین شده است:

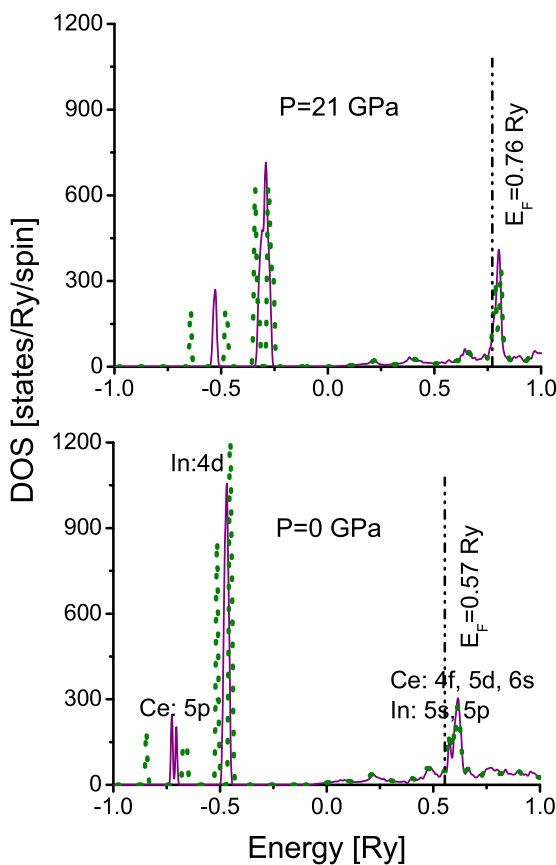
$$P(V) = \frac{B_0}{B'_0} \left(\left(\frac{V}{V_0} \right)^{B'_0} - 1 \right).$$

نیروها را پس از تغییر ثابت شبکه محاسبه کردیم. نتایج نشان می‌دهند که هیچ نیرویی بر اتمها وارد نمی‌شود. علت این امر به نوع گروه فضایی (fcc) مربوط می‌شود.

۳. نتایج و بحث

۳.۱. معادله حالت استاتیک و مدول حجمی

ما انرژی دستگاه را برای ۷ حجم متفاوت از CeIn_3 پادفرومغناطیس، بدون در نظر گرفتن اندرکنش اسپین-مدار و با



شکل ۳. چگالی حالتها کل ترکیب CeIn_3 تحت فشار محاسبه شده با روش FP-APW و تقریب PBE-GGA. خطوط پیوسته قبل از اعمال اندرکنش اسپین-مدار روی دستگاه پادفرومغناطیس و نقطه‌چینها پس از افزودن اندرکنش اسپین-مدار است. خط-نقطه-نقطه‌چینها نشان دهنده سطح فرمی است.

با توجه به تفاوت دماها، نتایج سازگاری قابل قبولی با مقدار تجربی اندازه‌گیری شده توسط گروه اومنی، ۶۷ GPa، دارد.

۴. ساختار الکترونی

چگالی حالتها، DOS، محاسبه شده برای ترکیب CeIn_3 در بازه وسیعی اطراف انرژی فرمی، در فشار متعارف و فشار ۲۱ GPa در شکل ۳ نشان داده شده است. همه حالاتی که ما به عنوان ظرفیت در نظر گرفته‌ایم در این شکل دیده می‌شوند، به جز حالتها $4p$ در In که در انرژیهای پاییتر، حدود -5 Ry، قرار می‌گیرند، حالتها $5s$ در Ce نیز چگالی حالتها بسیار کوچکی حدود -0.5 Ry دارند. حالتها $5p$ در Ce و $4d$ در In سرنشت

جدول ۱. مدول حجمی، B_c ، محاسبه شده به روش FP-LAPW بر حسب .GPa

PBE-GGA	
AFM	AFM+SO
B_c	$58/85$

B_c تجربی در دمای اتاق ۶۷ GPa است [۳].

گرفتن اسپین-مدار در بالا رسم شده‌اند، منطبق می‌شود. همان‌طور که در این شکل می‌بینیم محاسباتی که به روش PBE-GGA با در نظر گرفتن اندرکنش اسپین-مدار، به ویژه نسبت به V محاسباتی، انجام شده‌اند با اندازه‌گیریهای اومنی سازگاری بهتری دارند. بنابراین ما ادامه محاسبات را با روش PBE-GGA انجام دادیم. در محاسبات، ممانهای مغناطیسی سریم تا قبل از افزودن اندرکنش SO در جهت (001) می‌باشند ولی پس از آن در جهت (111) ، که همان جهتی است که نتایج تجربی تقریباً پیش‌بینی می‌کنند، قرار داده می‌شوند و این موجب بهبود نتایج می‌شود. در ضمن Ce یک عنصر سنگین است که اثرات نسبیتی در آن مهم می‌باشد.

همچنین در شکل ۲ دیده می‌شود، در فشارهای بالاتر اختلاف بیشتری بین نظریه و تجربه دیده می‌شود که به رفتار متفاوت CeIn₃ در فشارهای بالا و فشارهای پایین مربوط می‌شود. از آن جا که انحراف از معادله حالت ساده می‌تواند موجب گذار فاز شود [۱۵]، انتظار داریم ساختار بلوری یا ساختار مغناطیسی این ترکیب تغییر کرده باشد. از آنجا که اندازه‌گیریهای تجربی حاکی از پایداری ساختار AuCu₃ حداقل تا فشار ۱۰ GPa است [۳] به نظر می‌رسد که این انحراف در نمودار فاز ناشی از گذار پادفرومغناطیسی به غیرمغناطیسی در این ترکیب باشد. همان‌گونه که در بحث ساختار الکترونی به آن خواهیم پرداخت، نتایج تجربی و محاسبات ما نیز فرو نشانی ممان مغناطیسی سریم تحت فشار را نشان می‌دهند.

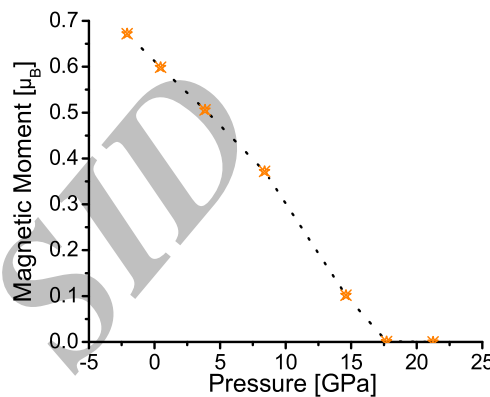
به علاوه، مدول حجمی را نیز با استفاده از معادله حالت پیرش-مورنگان برای تقریب PBE، بی اندرکنش اسپین-مدار و با اندرکنش اسپین-مدار، در دمای صفر مطلق محاسبه و با مقدار تجربی اندازه‌گیری شده در دمای اتاق مقایسه نموده‌ایم، (جدول ۱).

جدول ۲. سهم زیرپوسته‌های اتمهای Ce و In در ممان مغناطیسی اسپینی ترکیب CeIn₃ با یکای μ_B در تقریب‌های مختلف برای کمینه ثابت شبکه محاسباتی.

PBE-GGA								
	AFM+SO				AFM+SO+LDAU			
	s	p	d	f	s	p	d	f
Ce	۰/۰۰۱۳۶	۰/۰۰۶۱۳	۰/۰۳۲۲۲	۰/۵۷۱۹۹	۰/۰۰۱۸۷	۰/۰۰۸۴۰	۰/۰۴۲۱۴	۰/۸۰۲۰۵
In	۰/۰۰۰۰۴	۰/۰۰۰۱۱	۰/۰۰۰۰۱	۰/۰۰۰۰۰	۰/۰۰۰۲۵	۰/۰۰۲۸۶	-۰/۰۰۰۲۱	۰/۰۰۰۰۴

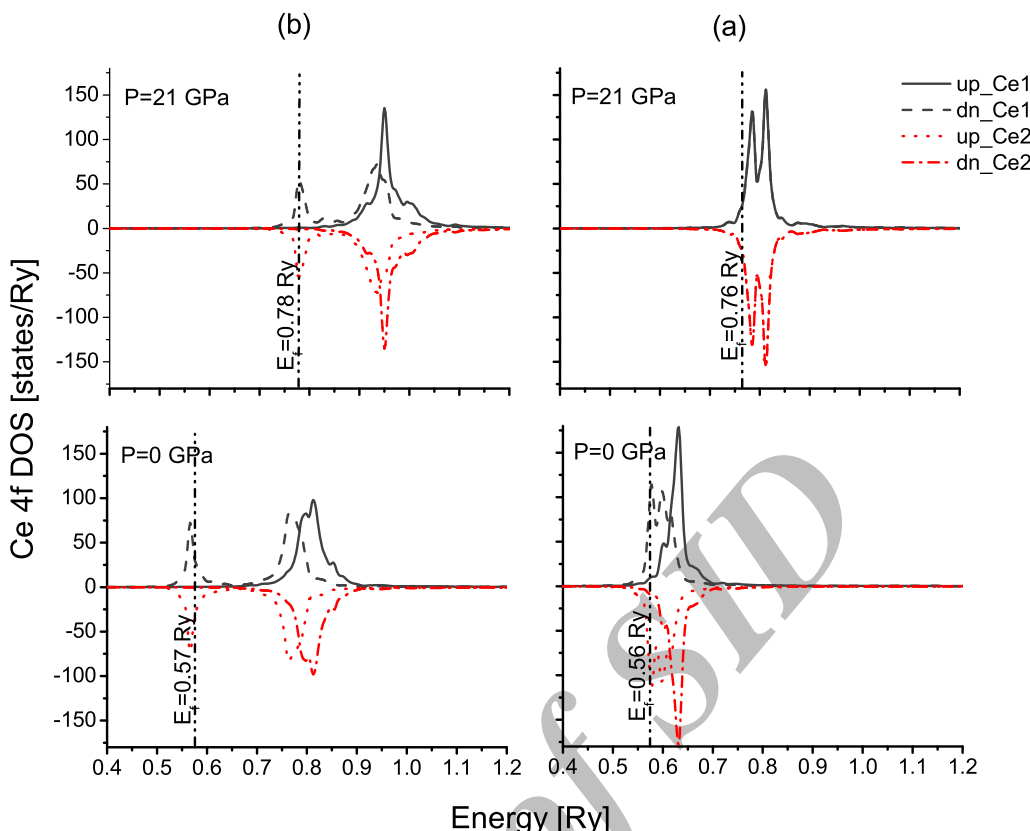
بیرش - مورنگان و در فشار متعارف، پیش از اضافه نمودن اندرکنش اسپین-مدار ممان مغناطیسی اسپینی سریم را μ_B ۰/۶۵۸ و پس از اضافه نمودن اندرکنش SO این مقدار را μ_B ۰/۶۱۲ و با افزودن تقریب U GGA+U آن را μ_B ۰/۸۵۵ به دست آوردیم. محاسبات نشان می‌دهد، در تمام فشارها، قسمت عمدهٔ ممان مغناطیسی در این ترکیب ناشی از اریتالهای f می‌باشد و پس از آن، به ترتیب، اریتالهای d و p نیز اندکی در آن مشارکت می‌کنند. به علاوه مشاهده می‌شود جهت‌های x و y و z سهمهای مساوی در ممان مغناطیسی سریم دارند. ممان مغناطیسی اسپینی ایندیم تا قبل از افزودن اندرکنش اسپین-مدار صفر می‌باشد ولی اضافه نمودن این اندرکنش موجب بروز مغناطش اندکی به اندازه μ_B ۰/۰۰۰۲ در این اتم می‌شود که با افزودن تقریب U GGA+U به مقدار μ_B ۰/۰۰۳ افزایش می‌یابد. همچنین مشاهده می‌شود سهم اریتال p در مغناطش اسپینی این اتم، در تمام فشارها، پیش از سایر اریتالها است. در جدول ۲ سهم زیرپوسته‌های s, p و f در ممان مغناطیسی اسپینی سریم و ایندیم را برای کمینه ثابت‌های شبکه محاسباتی در تقریب‌های مختلف با یکدیگر مقایسه نموده‌ایم. رفتار ممان مغناطیسی سریم در این ترکیب تحت فشار، مورد توجه گروههای تجربی زیادی بوده است. اندازه‌گیریها با روش‌های متفاوت بیان‌گر فرو نشانده شدن ممان مغناطیسی سریم با افزایش فشار است [۲۵، ۱۹]. محاسبات ما نیز نشان می‌دهد ممان مغناطیسی سریم به شدت به فشار وابسته است و با افزایش فشار به سمت صفر می‌رود (شکل ۴).

بررسی چگالی حالات Ce-4f نشان می‌دهد با افزایش فشار، حالت‌های ۴f در حالی که پهتر می‌شوند از سطح فرمی نیز دور



شکل ۴. تغییرات ممان مغناطیسی اسپینی CeIn₃ در ترکیب CeIn₃ تحت فشار با تقریب PBE-GGA.

شبه اتمی دارند و نسبت به E_F در انرژیهای پاییتری قرار دارند، همهٔ حالات دیگر شامل ۴f, ۵d, ۶s سریم و ۵s, ۵p در ایندیم در اطراف انرژی فرمی قرار گرفته‌اند. همان‌طور که در شکل ۳ دیده می‌شود همهٔ حالاتی که به عنوان ظرفیت در نظر گرفته شده‌اند تحت فشار به سمت انرژیهای بالاتر رانده می‌شوند و این در حالی است که ۵p در Ce و ۴d در In همچنان سرشت شبه اتمی خود را حفظ می‌کنند. مهمترین حالات، حالت‌های ۴f در Ce هستند که بیشترین سهم را در ممان مغناطیسی این ترکیب دارند. ممان مغناطیسی اتم Ce در این ترکیب توسط گروه لارنس μ_B ۰/۶۵±۰/۱ در دمای ۵ K [۱۶] و توسط گروه بنویت μ_B ۰/۴۸±۰/۰ در دمای ۳ K [۱۷] اندازه‌گیری شده است. گروه لالیک با محاسبات FP-LAPW در نظر گرفتن اندرکنش اسپین-مدار، SO، در فشار متعارف و دمای صفر کلوین، مقدار μ_B ۰/۷۰۸ [۱۸] را گزارش نموده‌اند. ما با کمینهٔ ثابت شبکه به دست آمده از معادلهٔ حالت



شکل ۵. چگالی حالت‌های بالا و پایین الکترونها ۴f سریم در ترکیب پادفرومغناطیس CeIn₃ تحت فشار محاسبه شده با روش FP-APW. (a) با تقریب PBE-GGA و اندرکنش اسپین-مدار در فشارهای ۰ و ۲۱ GPa (b) با تقریب U=۰.۷۶ Ry و اندرکنش اسپین-مدار در فشارهای ۰ و ۰.۵۶ Ry. خط- نقطه- نقطه‌چینها نشان دهنده انرژی فرمی است.

اطراف هسته هر اتم تعریف می‌شود. این پارامتر مقیاسی از انحراف چگالی بار الکتریکی از تقارن کروی حول هسته مورد نظر است. EFG، که هم به وسیله الکترونها ظرفیت داخل کرده اتمی و هم بقیه بارها در بلور تولید شده است، با اضافه نمودن عملکرگر گرادیان به پتانسیل الکتروستاتیکی در مکان هسته تعیین می‌شود. در دستگاه محورهای اصلی، تانسور EFG قطری بوده و تنها دو مؤلفه مستقل دارد زیرا عناصر قطری آن V_{xx} و V_{yy} و V_{zz} در رابطه $V_{xx}+V_{yy}+V_{zz}=0$ صدق می‌کنند. سه محور دستگاه محورهای اصلی طوری انتخاب می‌شوند که $|V_{xx}| \leq |V_{yy}| \leq |V_{zz}|$ باشد. می‌توان تانسور EFG را قطری و با دو پارامتر غیر وابسته تعیین نمود. پارامتر V_{zz} که بزرگترین مؤلفه تانسور EFG است و پارامتر عدم تقارن عبارت است از $\eta = V_{xx}-V_{yy} / V_{zz}$. این دو مؤلفه معمولاً به صورت تجربی

و به نوار رسانش نزدیک می‌شوند، شکل ۵. به این ترتیب با کم شدن سرشت اتمی الکترونها f و در حالی که این الکترونها بیشتر و بیشتر سیار می‌شوند، ممان مغناطیسی سریم فرو نشانده می‌شود. به علاوه با افزایش فشار پهنهای نوار f زیاد می‌شود که این نیز به معنی کوچکتر شدن جرم مؤثر الکترونها و سیار شدن آنها است.

۵. گرادیانهای میدان الکتریکی

تمام هسته‌هایی که عدد کوانتموی اسپینی آنها بزرگتر یا مساوی یک باشد دارای توزیع بار هسته‌ای غیر کروی و ممان چهار قطبی هسته‌ای Q می‌باشند. گرادیان میدان الکتریکی، EFG، یک تانسور متقارن مرتبه دو با رد صفر با پنج مؤلفه مستقل است که به عنوان مشتق مرتبه دوم پتانسیل ناشی از ابر الکترونی در

جدول ۳. مؤلفه اصلی گرادیانهای میدان الکتریکی در مکان In ترکیب CeIn₃ با یکای V/m^3 . ۱۰. گرادیانهای میدان الکتریکی، که در کار حاضر برای کمینه‌های ثابت شبکه محاسباتی از معادله حالت بریش مورنگان محاسبه شده‌اند، را با مقادیر محاسباتی سایرین و همچنین با مقادیر تجربی مقایسه نموده‌ایم.

PBE-GGA		
AFM	AFM+SO	AFM+SO+LDAU
In	In	In
* EFG	۱۲/۶۲۰	۱۲/۴۴۴
[۱۲] EFG	۱۳/۰۲۷	۱۲/۹۵۷
[۱۷] EFG	-	۱۲/۴۹۰

EFG تجربی در مکان In $10^{21} V/m^3 \times 11/6$ می‌باشد [۲۰].

*: کار حاضر

اطراف V_{zz} آن صفر است ولی پس از آن این تقارن شکسته شده و مقدار بسیار کوچکی برای V_{zz} مشاهده می‌شود. در هسته In به دلیل تقارن غیر مکعبی، اندرکنش چهار قطبی مشاهده می‌شود. این گشتاور چهار قطبی هسته‌ای با گرادیان میدان الکتریکی، که به علت نامتقارن بودن توزیع الکترونها ایجاد شده است، اندرکنش الکتروستاتیکی تولید می‌کند. پارامتر η به علت وجود تقارن محوری سه گانه، صفر است.

ما EFG اتمهای In را در فشار متعارف بدون در نظر گرفتن اندرکنش اسپین-مدار، پس از افزودن این اندرکنش و همچنین پس از افزودن اثر پارامتر U هابارد محاسبه و در جدول ۳ این مقادیر را با نتایج تجربی و محاسباتی سایر گروهها مقایسه نموده‌ایم. لازم به ذکر است که محاسبات ما برای کمینه ثابت‌های شبکه محاسباتی که از معادله حالت بریش-مورنگان به دست آمده‌اند و شعاع کره موافین-تین Ry ۳ انجام شده است، در حالی که گزارش سایر گروههای محاسباتی مربوط به ثابت شبکه تجربی است. در واقع EFG در این ترکیب ناشی از اتمهای In است و تقریباً تمام آن توسط اریتالهای P این اتم تولید می‌شود. بنابراین و همان‌طور که دیده می‌شود افزودن اثر U هابارد تاثیر در خور ملاحظه‌ای را روی EFG نمی‌گذارد، زیرا U هابارد روی الکترونهای جایگزینه d و f اعمال می‌شود و در اینجا این الکترونهای فقط در خواص مغناطیسی ترکیب نقش دارند.

در شکل ۶ تغییرات چگالی حالت‌های فرمی و رفتار گرادیان میدان الکتریکی اتم In را تحت فشار از ۰ تا ۲۲ GPa و با

تعیین می‌شوند. سهمهای ظرفیت و شبکه در گرادیان میدان الکتریکی به صورت زیر تعیین می‌شوند [۲۱]:

$$V_{zz} = \lim_{r \rightarrow \infty} \sqrt{\frac{5}{4\pi}} \frac{V_{20}}{r^2},$$

که در آن V_{20} مؤلفه ۲ و $M=0$ بسط پتانسیل در مکان هسته است که از رابطه زیر به دست می‌آید:

$$V_{20}(r=0) =$$

$$-2\sqrt{\frac{4\pi}{5}} R_t \rho_{20} \int_0^\infty \frac{dr}{r} + 2\sqrt{\frac{4\pi}{5}} R_t \rho_{20} \left(\frac{r}{R}\right)^5 dr \\ + 2\sqrt{\frac{4\pi}{5}} \frac{5}{R^2} \sum_{\vec{k}} V(\vec{k}) j_{\vec{k}}(kR_t) Y_{\vec{k}}(\vec{k}),$$

که در آن ρ_{20} ، $j_{\vec{k}}$ و R_t به ترتیب مؤلفه ۲ و $M=0$ بسط چگالی، یک هماهنگ کروی ($M=2$ و $L=0$) تابع بسل کروی ($L=2$) و شعاع کره موافین-تین است. جمله اول در معادله بالا ناشی از چگالی الکترونی غیر کروی الکترونهای ظرفیت و شبکه مغزه درون کره‌های موافین-تین است که به آن EFG ظرفیت می‌گویند و مجموع دو جمله آخر که از بسط چند قطبیها به وجود آمده‌اند در قیاس با مدل قدیمی بار نقطه‌ای سهم شبکه در تولید گرادیان میدان الکتریکی نامیده می‌شود.

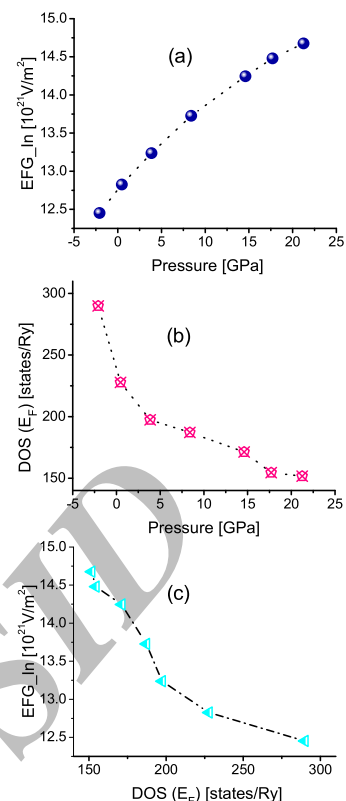
پارامتر عدم تقارن در مورد ترکیب CeIn₃ صفر است. بنابراین تنها پارامتری که مورد بررسی قرار می‌گیرد V_{zz} است. تا قبل از افزودن اندرکنش اسپین-مدار، به علت تقارن مکعبی

در واقع با اعمال فشار تعدادی از الکترونها سطح فرمی را ترک و به نوارهای خالی بالاتر می‌روند. این نوارها ناهمسانگردی بیشتری دارند (۵f، ۶p) و موجب افزایش EFG می‌شوند.

۴. نتیجه‌گیری

روش ابتدا به ساکن APW+lo برای محاسبه ساختار بلوری، ساختار الکترونی و همچنین گرادیانهای میدان الکتریکی در ترکیب پادفرومغناطیس CeIn₃ استفاده شده است. در انجام محاسبات دو تقریب WC-GGA و PBE-GGA برای این ساختار انتخاب شده‌اند. محاسبات در حضور و در غیاب اندرکنش اسپین-مدار انجام شده‌اند. به علاوه اثر افزایش فشار از ۵-۲۲ GPa روی ویژگی‌های فیزیکی این ترکیب مورد بررسی قرار گرفته است. مشاهده می‌شود با افزودن اثر اندرکنش اسپین-مدار نتایج حاصل از محاسبات با نتایج تجربی سازگاری بیشتری پیدا می‌کنند. همان طور که انتظار داریم افزودن اثر U هابارد که موجب عقب کشیدن الکترونها f و جایگزینی آنها می‌شود روی خواص ساختاری تأثیر محسوسی نمی‌گذارد در حالی که این همبستگی بین الکترونها می‌تواند در تعیین خواص مغناطیسی مهم باشد.

بیشترین سهم در ممان مغناطیسی این ترکیب متعلق به الکترونها f و پس از آن متعلق به الکترونها d و p اتم سریم است. دیده می‌شود با افزایش فشار ممان مغناطیسی اتم سریم به سمت صفر میل می‌کند. از سوی دیگر با افزایش فشار حالتها Ce-4f پهتر شده و از سطح فرمی دور می‌شوند. یعنی با کم شدن سرشت اتمی الکترونها f ممان مغناطیسی Ce فرونشانده می‌شود. همچنین با افزایش فشار چگالی حالتها کل در سطح فرمی کاهش و گرادیان میدان الکتریکی در اطراف اتم In افزایش می‌یابد.



شکل ۶. (a) گرادیان میدان الکتریکی در جایگاه In ترکیب CeIn₃ تحت فشار، (b) چگالی حالتها فرمی ترکیب CeIn₃ تحت فشار، (c) گرادیان میدان الکتریکی در جایگاه In بر حسب چگالی حالتها فرمی در ترکیب CeIn₃، با تقریب PBE-GGA و اندرکنش SO.

اعمال اندرکنش اسپین-مدار رسم نموده‌ایم. در شکل ۶ می‌بینیم با افزایش فشار گرادیان میدان الکتریکی ایندیم افزایش می‌یابد که نشان دهنده کم شدن تقارن اطراف In با افزایش فشار است. از طرفی مشاهده می‌شود با افزایش فشار و در نتیجه کاهش چگالی حالتها فرمی، DOS(E_F) کم EFG می‌شود، (شکل ۶-۶(b)). بنابراین به نظر می‌رسد یک رابطه معکوس بین DOS(E_F) و EFG وجود داشته باشد، (شکل ۶-۶(c)).

مراجع

1. A W Carbonari, J Mestnik-Filho, R N Saxena and H Saitovitch, *Hyperfine Interact.* **133** (2001) 77-81.
2. R Settai, T Kubo, H Shishido, T C Kobayashi, and Y Onuki, *J. Magn. Magn. Mater.* **272-276** (2004) 223-224.
3. G Oomi, T Kagayama and J Sakurai, *J. Materials Processing Technology* **85** (1999) 220-223.
4. M A Ruderman and C Kittel, *Phys. Rev.* **96** (1954)

15. R E Cohn, O Gulseren and R J Hemley, *Am. Mineral.* **85** (2000) 338.
16. J M Lawrence, and S M Shapiro, *Phys. Rev. B* **22** (1980) 4379.
17. A Benoit, J K Boucherle, P Convert, J Flouquet, J Palleau and J Schweizer, *Solid State Commun.* **34** (1980) 293.
18. M V Lalić, J. Mestnik-Filho, A W Carbonari, R N Saxena and H Haas, *Hyperfine Interact.* **136-137** (2001) 743-747.
19. F M Grosche, I R Walker, S R Julian, N D Mathur, D M Freye, M J Steiner and G G Lonzarich, *J. Phys.: Condens. Matter* **13** (2001) 2845-2860.
20. Y Kohori, Y Inoue, T Kohara, G Tomka and P C Riedi, *Physica B* **259-261** (1999) 103.
21. P Blaha and K Schwarz, P H Dederichs, *Phys. Rev. B* **37** (1988) 2792.
- Properties' Karlheinz Schwarz, Techn. Universit"at Wien, Austria (1999), ISBN 3-9501031-1-2.
7. S Cottenier, *Density Functional Theory and the Family of (L)APW-methods: a step by step introduction*, (2002), ISBN 90-807215-1-4 (to be found at <http://www.wien2k.at/reg/user/textbooks>).
8. J P Perdew, S Burke and M Ernzerhof, *Phys. Rev. Lett.* **77** (1996) 3865.
9. Zhigang Wu and R E Cohen, *Phys. Rev. B* **73** (2006) 235116.
10. V I Anisimov, J Zaanen and O K Andersen, *Phys. Rev. B* **44** (1991) 943.
11. V I Anisimov et al., *Phys. Rev. B* **48** (1993) 16929.
12. N Kioussis, J Thevenot, B R Cooper and Q G Sheng, *J. Appl. Phys.* **79** (1996) (8) 6420.
13. S Jalali Asadabadi, *Phys. Rev. B* **75** (2007) 205130.
14. F D Murnaghan, *Proceeding of the National Academy of Science* **30** (1944) 244.

Archive of SID